

## Nociones teóricas

Para una distribución de masa  $\rho: \mathbb{R}^3 \rightarrow \mathbb{R}$

Notaciones:  $\vec{x} = (x_1, x_2, x_3)$  para mostrar que  $x = (x_1, x_2, x_3)$  es un vector  $\in \mathbb{R}^3$  Para una function  $f: \mathbb{R}^3 \rightarrow \mathbb{R}^3$   $\vec{f}(\vec{x}) = (f_1(\vec{x}), f_2(\vec{x}), f_3(\vec{x}))$  (vector) y una function  $g: \mathbb{R}^3 \rightarrow \mathbb{R}$  (scalar)

$$\nabla g(\vec{x}) = \left( \frac{\partial g}{\partial x_1}(\vec{x}), \frac{\partial g}{\partial x_2}(\vec{x}), \frac{\partial g}{\partial x_3}(\vec{x}) \right) \text{ es un vector } \in \mathbb{R}^3;$$

$$\nabla \cdot \vec{f}(\vec{x}) = \frac{\partial f_1}{\partial x_1}(\vec{x}) + \frac{\partial f_2}{\partial x_2}(\vec{x}) + \frac{\partial f_3}{\partial x_3}(\vec{x}) \text{ es un scalar } (\in \mathbb{R})$$

$$\nabla^2 g(\vec{x}) = \nabla \cdot \nabla g(\vec{x}) = \frac{\partial^2 g}{\partial^2 x_1}(\vec{x}) + \frac{\partial^2 g}{\partial^2 x_2}(\vec{x}) + \frac{\partial^2 g}{\partial^2 x_3}(\vec{x}) \text{ scalar } (\in \mathbb{R})$$

De la ley de Newton la fuerza gravitatoria ejercitada en una masa  $m = 1$  situada en el punto  $x$  es:  $\vec{F}(\vec{x}) = G \int \frac{\vec{x}' - \vec{x}}{|\vec{x}' - \vec{x}|^3} \rho(\vec{x}') d^3 \vec{x}'$  y despues de hacer cálculos llegamos a  $\nabla \cdot \vec{F}(\vec{x}) = -4\pi G \rho(\vec{x})$

Definimos el potencial gravitatorio  $\Phi(\vec{x}) = -G \int \frac{\rho(\vec{x}')}{|\vec{x}' - \vec{x}|} d^3 \vec{x}'$ . Observamos que  $\vec{F}(\vec{x}) = -\nabla \Phi(\vec{x})$  y después de reemplazar en la ecuación de antes se obtiene la ecuación de Poisson:  $\nabla^2 \Phi(\vec{x}) = 4\pi G \rho(\vec{x})$

**En coordenadas esféricas**  $(r, \theta, \varphi)$  **con simetria esférica** (las funciones solo dependen de  $r$  ( $= |\vec{r}|$ ) y no de la posición en la esfera de radio  $r$ : los angulos  $\theta$  y  $\varphi$  )

Las derivadas totales coinciden con las derivadas parciales  $\frac{d\Phi(r)}{dr} = \frac{\partial \Phi(r)}{\partial r}$ ;  
 $|\vec{F}(r)| = |\nabla \Phi(r)| = \frac{\partial \Phi(r)}{\partial r}$  y  $\nabla^2 \Phi(r) = \frac{1}{r^2} \frac{\partial}{\partial r} (r^2 \frac{\partial \Phi(r)}{\partial r})$  La ecuacion Poisson:  $\frac{1}{r^2} \frac{\partial}{\partial r} (r^2 \frac{\partial \Phi(r)}{\partial r}) = 4\pi G \rho(r) \implies r^2 \frac{\partial \Phi(r)}{\partial r} = 4\pi G \int r^2 \rho(r) dr + K_1 \implies \frac{\partial \Phi(r)}{\partial r} = \frac{4\pi G}{r^2} \int r^2 \rho(r) dr + \frac{K_1}{r^2} \implies \Phi(r) = 4\pi G \int \frac{1}{r^2} (\int r^2 \rho(r) dr) dr + K_1 \int \frac{1}{r^2} dr + K_2 = 4\pi G \int \frac{1}{r^2} (\int r^2 \rho(r) dr) dr + \frac{K_1}{r} + K_2, K_1, K_2 \in \mathbb{R} (\text{el signo} - \text{con } K_1)$

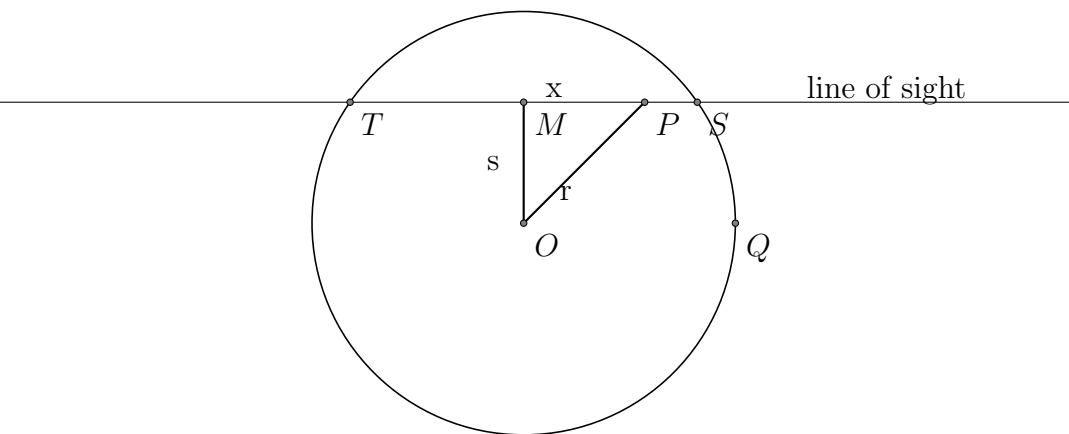
El módulo de la fuerza ejercitada sobre la particula debido al movimiento en una órbita circular es  $|\vec{F}(r)| = m \frac{v_c^2}{r}$  y tiene que ser igual al módulo la fuerza gravitatoria  $\frac{\partial \Phi(r)}{\partial r}$  donde  $v_c$  es la velocidad circular y  $m$  se consideró  $= 1 \implies v_c^2(r) = r \frac{\partial \Phi(r)}{\partial r} \implies v_c^2(r) = \frac{4\pi G}{r} \int r^2 \rho(r) dr + \frac{K}{r}, K \in \mathbb{R} \implies v_c(r) = \left( \frac{4\pi G}{r} \int r^2 \rho(r) dr + \frac{K}{r} \right)^{\frac{1}{2}}, K \in \mathbb{R}$

La masa  $M(r) = 4\pi \int r^2 \rho(r) dr + K, K \in \mathbb{R}$

Las constantes de integración se eligen de tal forma que verifiquen las condiciones de contorno:  $\lim_{x \rightarrow +\infty} \Phi(x) = 0, v_c(0) = 0, M(0) = 0$

En un sistema con simetría esférica: la proyección de una función  $f(r)$  en el plano  $y, z$  (a lo largo de la línea de visión  $OX$ ) es la función:  $F(s) = \int_{-\infty}^{\infty} f(r) dx$  donde  $s$  es la distancia desde el centro del círculo en el plano proyectado ( $s^2 = y^2 + z^2$ )

$$r^2 = x^2 + s^2 \text{ y la simetría esférica } \implies F(s) = 2 \left| \int_0^{\infty} f(\sqrt{x^2 + s^2}) dx \right|$$



Para calcular estas funciones de forma numérica hay que establecer los límites de integración y las constantes

Miramos el gráfico de la función:  $f(r) = r^2 \rho(r)$

si  $f$  es continua y  $f(0) = 0$

$$\int r^2 \rho(r) dr = \int_0^r x^2 \rho(x) dx$$

Miramos el gráfico de la función  $f(r) = \frac{1}{r^2} \int_0^r \frac{1}{x^2} \rho_c e^{-\frac{x}{r_0}} dx$

si  $f$  no está definida en 0 pero es continua en  $(0, \infty)$  y  $\lim_{x \rightarrow 0} f(x) = 0$

$\Phi(r) = 4\pi G \int_{\epsilon}^r \frac{1}{x^2} \left( \int_0^x a^2 \rho(a) da \right) dx + K_2$  (elegimos  $K_1 = 0$  y  $K_2$  de tal manera que  $\lim_{x \rightarrow +\infty} \Phi(x) = 0$ , en práctica  $K_2 = -\Phi(R_{max})$ )

$v_c(r) = \left( \frac{4\pi G}{r} \int_0^r x^2 \rho(x) dx \right)^{\frac{1}{2}}$  (la constante de integración es 0 porque  $v_c(0) = 0$ )

$M(r) = 4\pi \int_0^r x^2 \rho(x) dx$  (la constante de integración es 0 porque  $M(0) = 0$ )

## Problema de la práctica. Solución numérica

Hipótesis:  $\rho(r) = \rho_c e^{-\frac{r}{r_0}}$

Determinar  $\Phi(r)$ ,  $M(r)$ ,  $M_p(r)$ ,  $v_c(r)$

Miramos los gráficos de las funciones (plotFunctions.py) y vemos que cumplen las condiciones para poner los límites de integración explicadas arriba

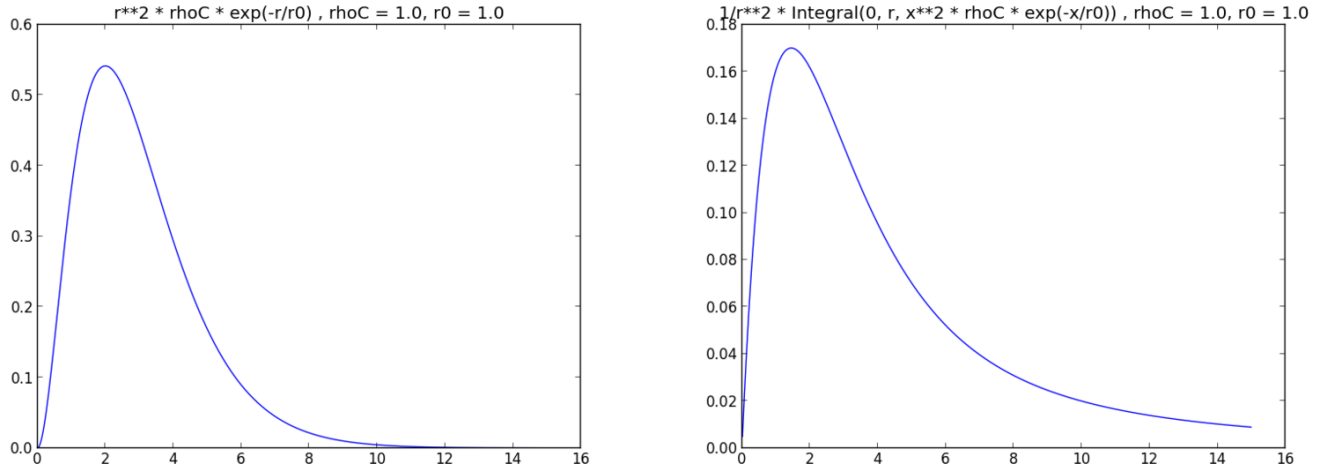


Figura 1: *Gráficos de las funciones*

$$\Phi(r) = 4\pi G\rho_c \int_{\varepsilon}^r \frac{1}{x^2} \left( \int_0^x a^2 e^{-\frac{a}{r_0}} da \right) dx - \Phi(R_{max})$$

$$v_c(r) = \left( \frac{4\pi G\rho_c}{r} \int_0^r x^2 e^{-\frac{x}{r_0}} dx \right)^{\frac{1}{2}}$$

$$M(r) = 4\pi\rho_c \int_0^r x^2 e^{-\frac{x}{r_0}} dx$$

La proyección de la distribución de densidad en el plano YOZ  $D_p(s) =$

$$2\rho_c \left| \int_0^{\infty} e^{-\frac{\sqrt{s^2+x^2}}{r_0}} dx \right|$$

## Solución analítica

$$\rho(r) = \rho_c e^{-\frac{r}{r_0}}$$

Integrando por partes 2 veces:

$$\begin{aligned} \int_0^r x^2 e^{-\frac{x}{r_0}} dx &= -r_0 \int_0^r x^2 (e^{-\frac{x}{r_0}})' dx = -r_0 \left( x^2 e^{-\frac{x}{r_0}} \right) \Big|_0^r - 2 \int_0^r x e^{-\frac{x}{r_0}} dx = \\ &= -2r_0^2 \int_0^r x (e^{-\frac{x}{r_0}})' dx - r_0 r^2 e^{-\frac{r}{r_0}} = -2r_0^2 \left( x e^{-\frac{x}{r_0}} \right) \Big|_0^r - \int_0^r e^{-\frac{x}{r_0}} dx = \\ &= r_0 r^2 e^{-\frac{r}{r_0}} = -2r_0^3 e^{-\frac{x}{r_0}} \Big|_0^r - 2r_0^2 r e^{-\frac{r}{r_0}} - r_0 r^2 e^{-\frac{r}{r_0}} = 2r_0^3 - 2r_0^3 e^{-\frac{r}{r_0}} - \\ &= 2r_0^2 r e^{-\frac{r}{r_0}} - r_0 r^2 e^{-\frac{r}{r_0}} = 2r_0^3 - r_0 e^{-\frac{r}{r_0}} (2r_0^2 + 2r_0 r + r^2) \end{aligned}$$

$$\begin{aligned} \Rightarrow \int_{\epsilon}^r \frac{1}{x^2} \left( \int_0^x y^2 e^{-\frac{y}{r_0}} dy \right) dx &= 2r_0^3 \int_{\epsilon}^r \frac{1}{x^2} dx - \int_{\epsilon}^r \frac{e^{-\frac{x}{r_0}} (2r_0^3 + 2r_0^2 x + x^2 r_0)}{x^2} dx = \\ &= -2r_0^3 \frac{1}{x} \Big|_{\epsilon}^r - \int_{\epsilon}^r e^{-\frac{x}{r_0}} \left( -(-r_0 - \frac{2r_0^2}{x}) + r_0(-r_0 - \frac{2r_0^2}{x}) \right) dx = 2r_0^3 \left( \frac{1}{\epsilon} - \right. \\ &= \frac{1}{r} \Big) + r_0 \left( (e^{-\frac{x}{r_0}})' (-r_0 - \frac{2r_0^2}{x}) + e^{-\frac{x}{r_0}} (-r_0 - \frac{2r_0^2}{x})' \right) = (\text{integración por partes}) = 2r_0^3 \left( \frac{1}{\epsilon} - \frac{1}{r} \right) + r_0 \left( e^{-\frac{x}{r_0}} (-r_0 - \frac{2r_0^2}{x}) \right) \Big|_{\epsilon}^r = r_0^2 \left( \frac{2r_0}{\epsilon} - \frac{e^{-\frac{\epsilon}{r_0}} (\epsilon + 2r_0)}{\epsilon} + \right. \\ &= \left. \frac{-2r_0 + e^{-\frac{r}{r_0}} (r + 2r_0)}{r} \right) \Rightarrow \Phi(r) = 4\pi G \rho_c r_0^2 \left( \frac{2r_0}{\epsilon} - \frac{e^{-\frac{\epsilon}{r_0}} (\epsilon + 2r_0)}{\epsilon} + \frac{-2r_0 + e^{-\frac{r}{r_0}} (r + 2r_0)}{r} \right) \end{aligned}$$

$$M(r) = 4\pi \rho_c \int_0^r x^2 e^{-\frac{x}{r_0}} dx = 4\pi \rho_c r_0 (2r_0^2 - 2r_0^2 e^{-\frac{r}{r_0}} - 2r_0 r e^{-\frac{r}{r_0}} - r^2 e^{-\frac{r}{r_0}})$$

$$v_c(r) = \left( \frac{4\pi G \rho_c}{r} \int_0^r x^2 e^{-\frac{x}{r_0}} dx \right)^{\frac{1}{2}} = (4\pi G \rho_c r_0 \left( \frac{2r_0^2}{r} - e^{-\frac{r}{r_0}} (2\frac{r_0^2}{r} + 2r_0 + r) \right))^{\frac{1}{2}}$$

Usando programas que trabajan con símbolos matematicos (Mathematica y sympy (python) - ver sympyDens.py) producen los mismos resultados

Comparación entre las soluciones del potencial, masa y velocidad obtenidas de forma numérica y analítica (exp\_plot.py): (son iguales)

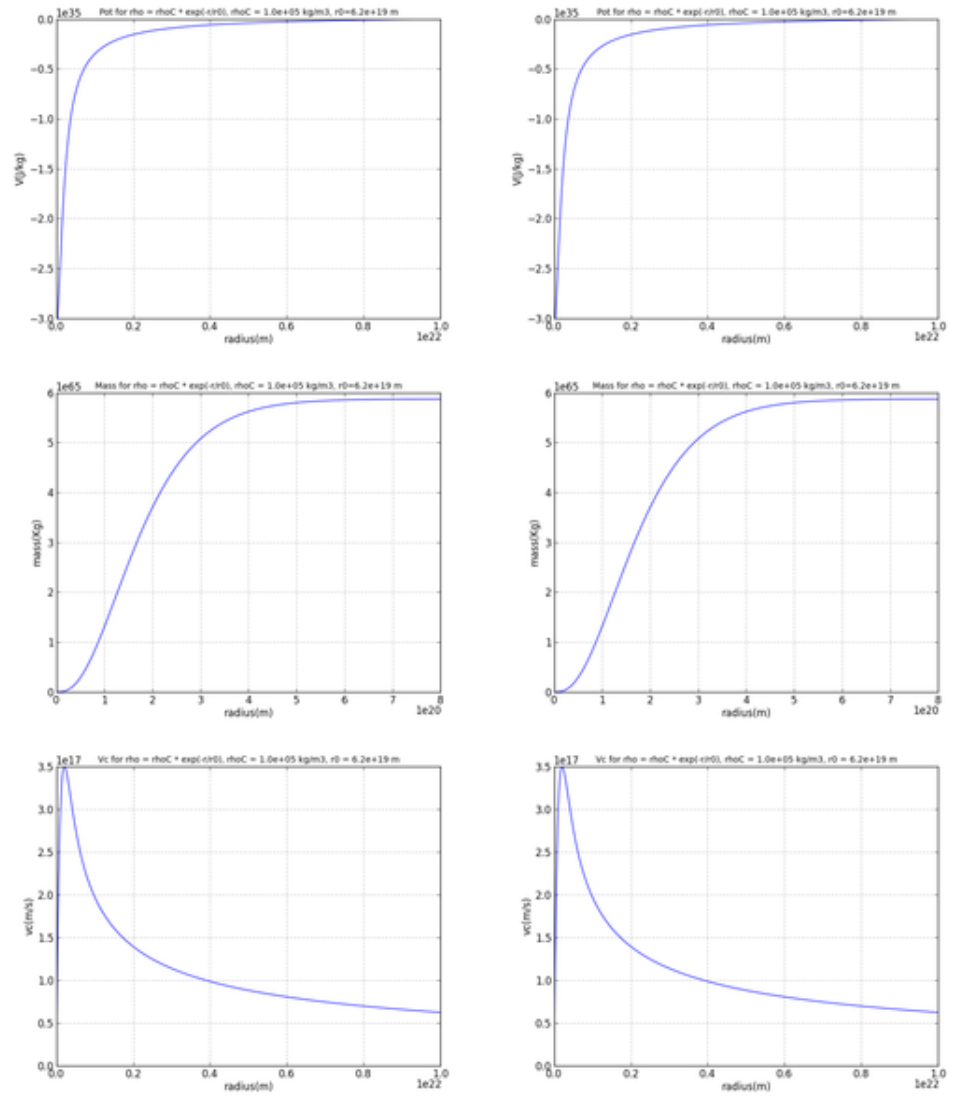


Figura 2: *izquierda: soluciones calculadas de forma numérica, derecha: analítica*

## Variación de los parámetros ( $r_0$ y $\rho_c$ )

Los gráficos se realizaron con un programa python (exp\_compare.py)

Se muestran los gráficos para  $\rho_c$  en  $\{0.5 * 10^5, 10^5, 1.5 * 10^5, 2.0 * 10^5\}$  kg/m<sup>3</sup> y  $r_0$  en  $\{0.5, 1, 1.5, 2\}$  kpc. Todas las cantidades estan expresadas en las unidades SI: densidad kg/m<sup>3</sup>, distancia m, potencial J/kg, densidad proyectada kg/m<sup>2</sup>, velocidad m/s y se consideró la constante gravitacional  $G = 6.6 * 10^{-11} m^3 / (kg * s^2)$

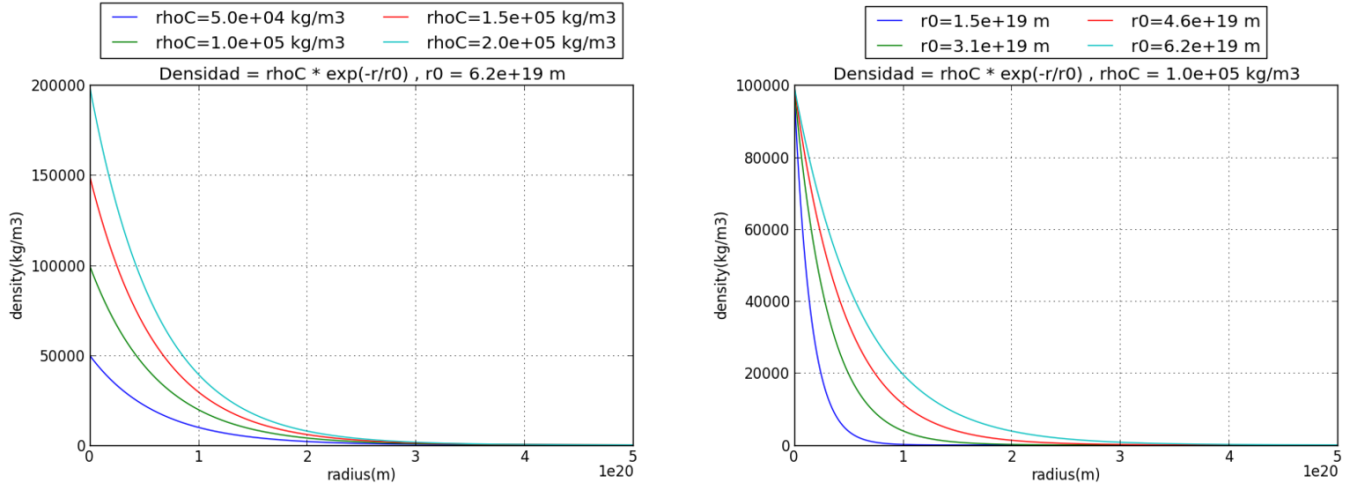
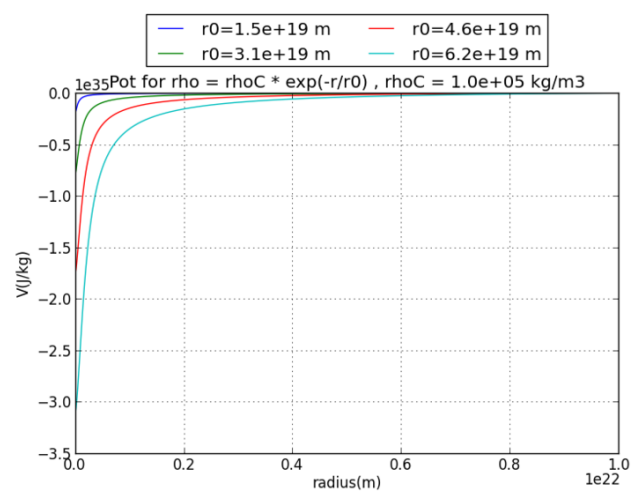
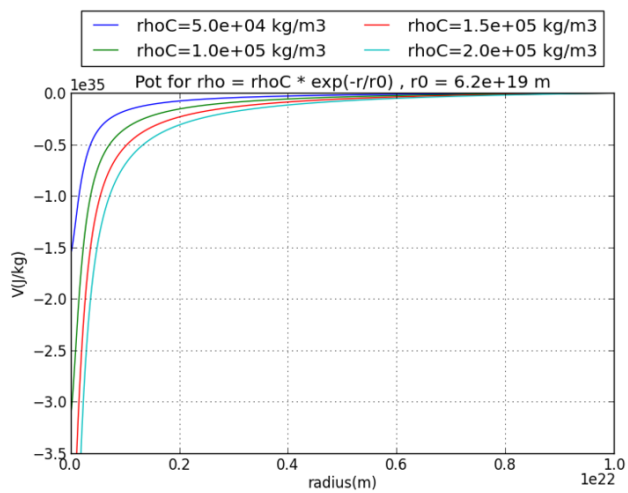
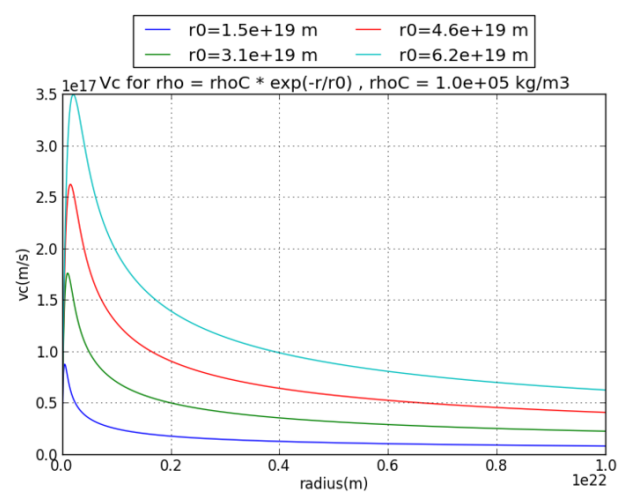
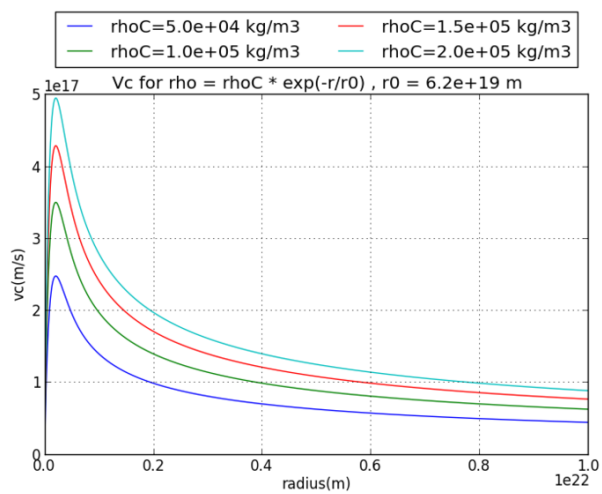
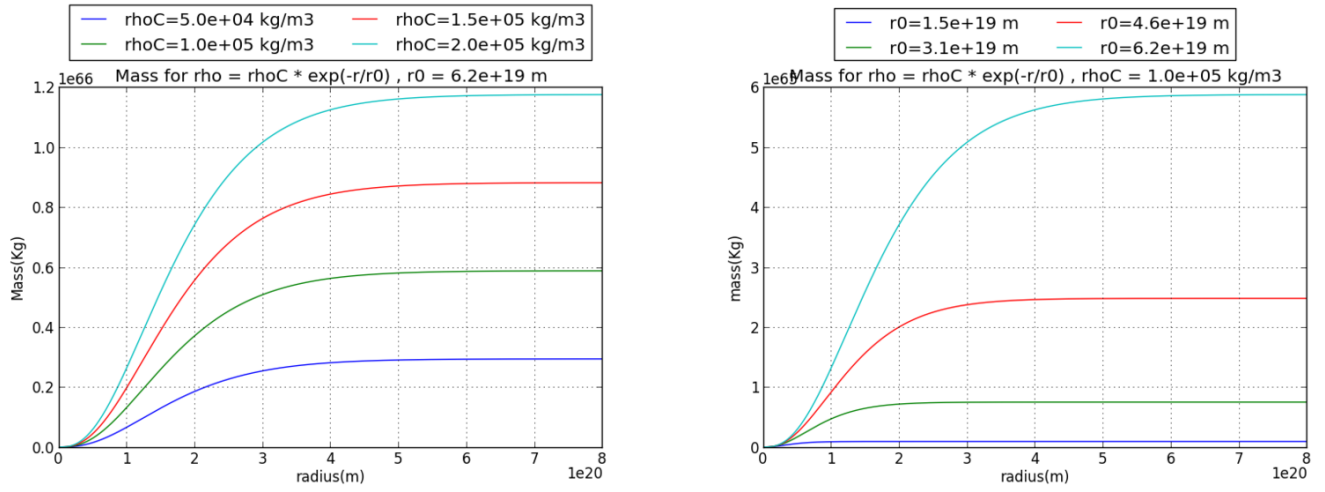
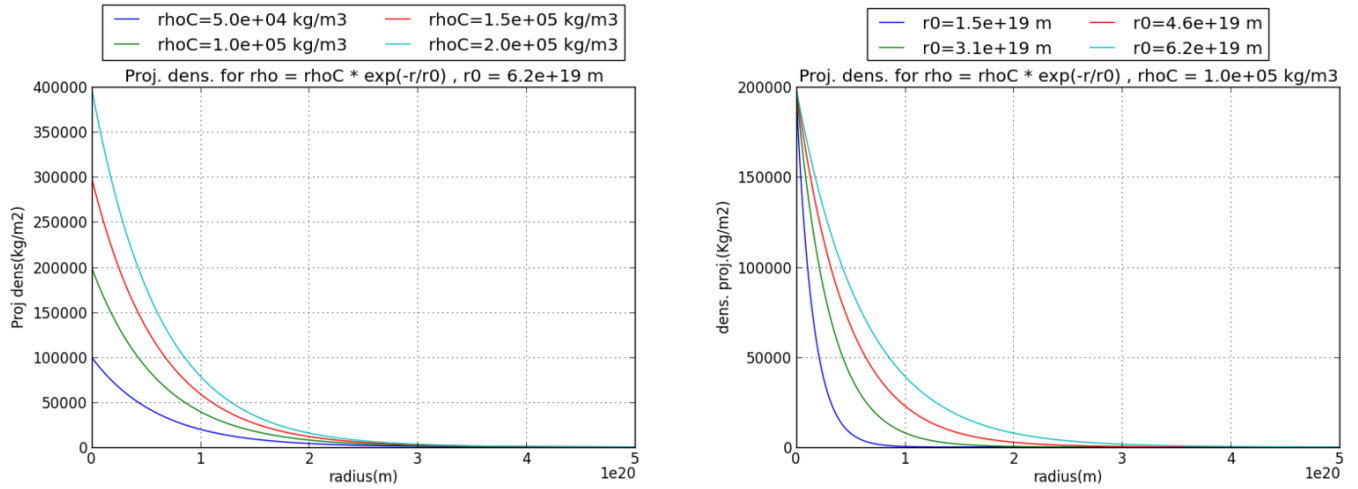


Figura 3: *Densidad*

Figura 4: *Potencial*Figura 5: *Velocidad circular*

Figura 6: *Masa*Figura 7: *Densidad proyectada*



## Comparación con el potencial isócrono

### Solución analítica del potencial isocrono

Hay 2 parámetros configurables:  $b$  ( $b = 0$  es equivalente a una masa puntual: toda la masa en el centro) y  $M$  (la masa total del sistema)

$$\Phi(r) = -\frac{GM}{b + \sqrt{b^2 + r^2}}$$

usando sympy para hacer los cálculos (sympyPot.py) (las fórmulas salen como en el libro)

Se define  $a = \sqrt{b^2 + r^2}$

$$\rho(r) = M \left( \frac{3(b+a)a^2 - r^2(b+3a)}{4\pi(b+a)^3 a^3} \right)$$

$$M(r) = M \frac{r^3}{(b + \sqrt{b^2 + r^2})^2 \sqrt{b^2 + r^2}}$$

$$v_c(r) = \sqrt{(GM r^2) / ((b + a)^2 * a)}$$

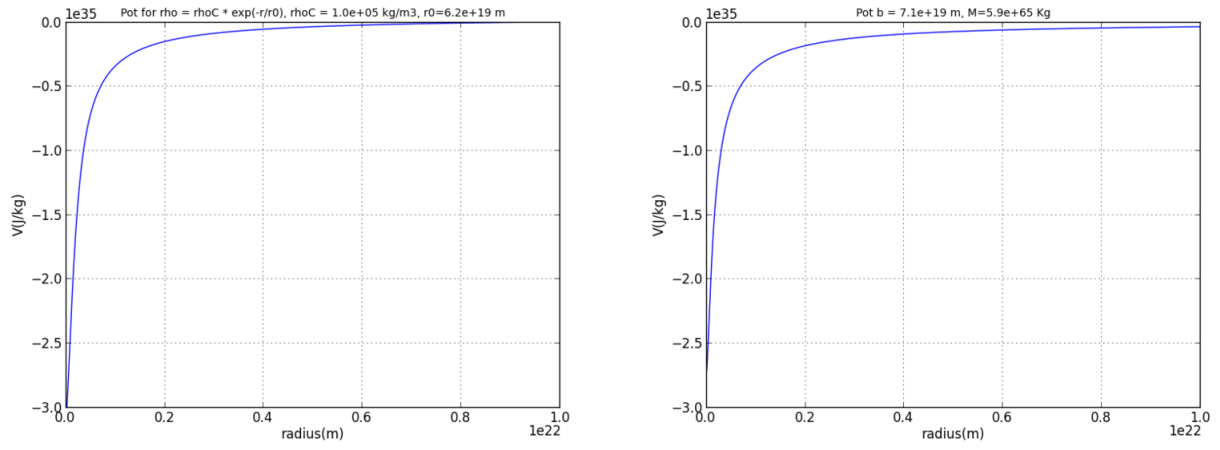
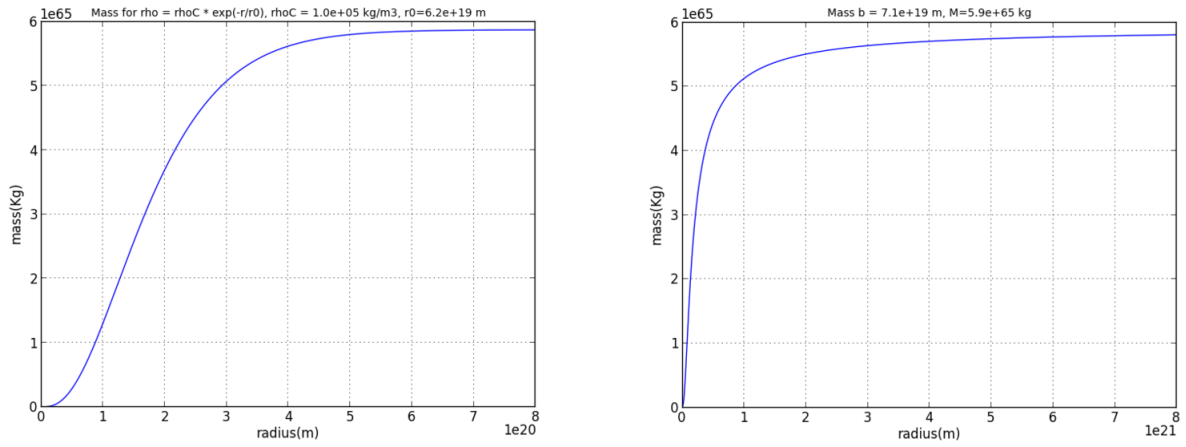
La densidad proyectada se calcula como antes reemplazando la función de densidad

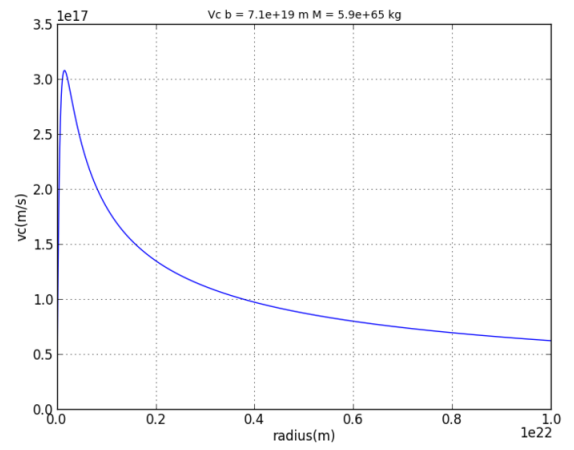
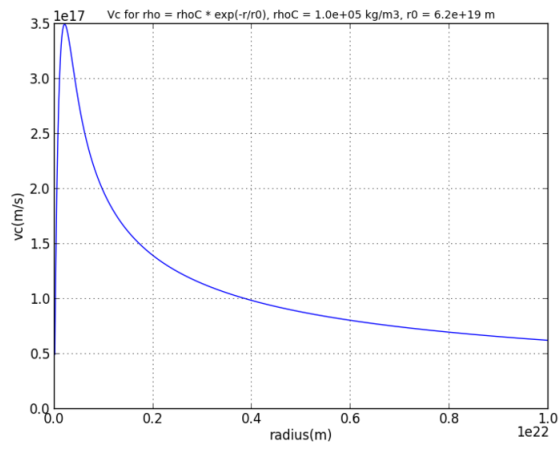
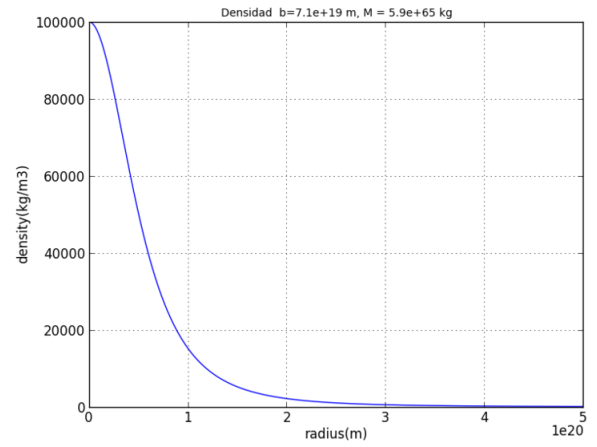
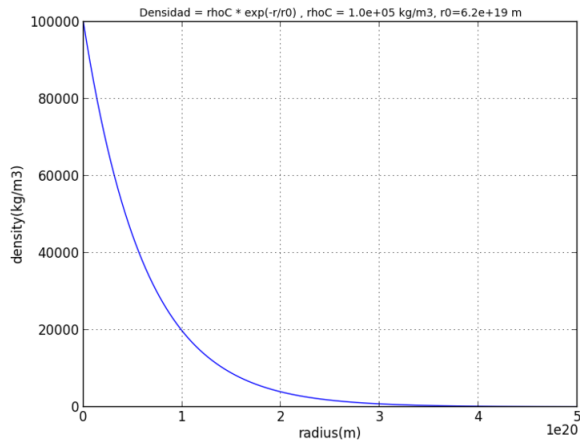
### Comparación

Elegimos  $r_0$  (el parámetro de escala de la distribución exponencial) = 2kpc y  $\rho_c = 1e+5$  y ejecutamos el programa para dibujar la masa para la distribución exponencial.

La masa total obtenida y misma densidad central introducidas antes se introducen como parámetros para dibujar los gráficos en el caso del potencial isócrono para poder hacer una comparación (el parámetro  $b$  se calcula :  $b = (\frac{3M}{16\pi\rho_c})^{\frac{1}{3}}$  - reemplazando  $r=0$  en la fórmula de la densidad)

```
python exp_plot.py --type=m --rmax=0.5e+21 --r0=6.16e+19 --rhoC=1e+5
python isochrone_plot.py --rhoC=1.0e5 --type=v --mass=5.9e+65 --rmax=0.8e+22
```

Figura 8: *Potencial comparado*Figura 9: *Masa comparada*

Figura 10: *Velocidad comparada*Figura 11: *Densidad comparada*

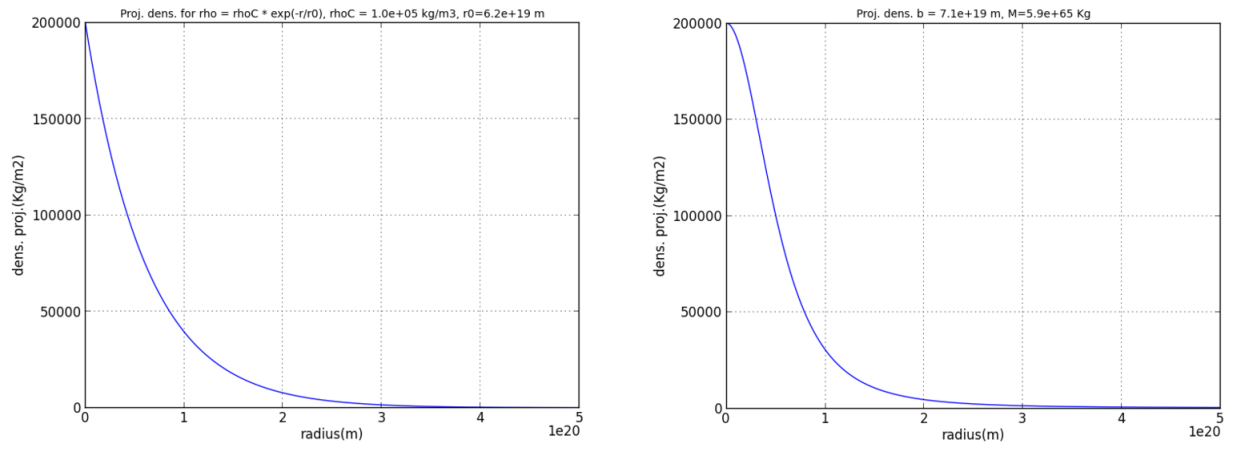


Figura 12: *Densidad proyectada comparado*

## Conclusiones

Para las 2 distribuciones cuando la densidad es casi 0 la masa encerrada en el radius correspondiente es casi toda la masa (despues de este radius la masa es casi constante), el potencial se acerca a 0 y la velocidad circular tiene el máximo

el parámetro de escala  $r_0$  y  $\rho_c$

## Código

- Los programas python, imagenes, pdf e incluso el tex están en el repositorio git: <https://github.com/beevageeva/potencial> Allí está la descripción y ejemplos de uso.
- Por razones históricas hay otro programa python mas general (pt.py)
- Se muestran los gráficos en el caso  $A = B = 1$  ( $\implies r_0 = \rho_c = 1$ ) y constantes de integración 0, el segundo gráfico está calculado con la solución analítica: ver calc\_exp.py)

```
python pt.py --type=p --test=calc_exp --k=0,-8e-10
python pt.py --type=v --test=calc_exp
python pt.py --type=m --test=calc_exp
```

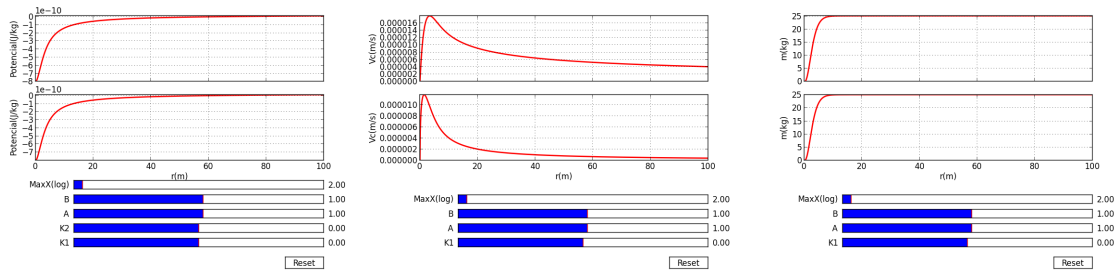


Figura 13: Salidas de las ejecuciones de pt.py de arriba